

○ 神戸商船大学船貨輸送研究施設 正員 久保雅義  
大阪大学工学部 正員 横木亨

1. まえがき：従来不規則波が係留船に作用する場合、変動漂流力のために長周期船体運動を生じることはよく知られています<sup>1)</sup>が、港内係留船には変動漂流力以外に長周期波による波力も作用することが多い。これらの関係を表-1に示す。このようにして生じる長周期波は従来から港で言われています係留船流出の原因の一つであると考えられるので、ニニゴは不規則波の最も簡単な場合として群波が港内に侵入した時の船体運動について水理実験により検討を加えた。

2. 観測波による漂流力の測定：実験には図-1に示すような神戸商船大学総合実験水槽内の浅水槽(6m×6m×1.5m)を水深28cmの状態で使用した。図-1には港及び係留船の配置を示しています。模型港において岸壁から防波堤までの距離は4.65mに設置したが、この時の水深が28cmであることと考慮すると防波堤と岸壁を腹とする第1モードの共振は周期T=5.6秒で生じることになる。船体模型は長さ120cm、幅22.5cm、深さ20cmの木製の箱船で吃水15cmで使用した。この場合の復元力としては図-2に示すように漂流力測定用の板バネのみが作用しており、この板バネのバネ定数は4385/cmである。実験において計測された漂流力係数Dを図-3に示す。図におけるF\_dは板バネの静止位置からの偏位量より求めた漂流力である。ニニゴ(+/-)は岸方向へ作用する力、(-)は沖方向へ作用する力を示す。さらにはρは水の密度、gは重力加速度、Aは入射波振幅、Bは船幅である。図の横軸はλ/L(=波長/船長)および模型実験における波周期を示しています。Open seaでは波漂流力の作用方向は波の進行方向と同じであるが、港内に係留した船体の場合には漂流力の作用方向が波の周期により非常に激しく変化している。

3. 長周期船体運動の実験：実験装置の配置は漂流力測定実験の場合とほぼ同じである。群波の変動漂流力による長周期船体運動と長周期波による港湾模型の共振周期(5.6秒である)による長周期船体運動との違いを明らかにするために、係留船のsurgingの固有周期は4.6秒に設定している。この時のバネ定数は4385/cmである。実験では第1成分波の周期は1秒に固定し、第2成分波の周期を1秒以下で変化させて二つに分けて群波の周期を設定している。

群波を港内に入射させた時の長周期船体運動の計測結果を図-4に示す。縦軸は船の変位全幅を冲波合成波高で無次元化した値を示している。この図より群波の周期T\_g=3.8秒、4.8秒、および5.8秒において長周期船体運動が大きくなっていることが判明する。ニニゴ次に先に求めた漂流力係数Dを用いて漂流力による長周期船体運動を求めてみる。この場合のsurgingの運動方程式は次式で与えられる。<sup>1)</sup>

$$\ddot{y} + 2E_{su}\dot{y} + n_{su}^2 y = \frac{F_d}{M_{su}} \quad (F_d = \rho g D \lambda^2 B \cos \omega t, \quad \omega = \frac{2\pi}{T_g} = \frac{2(\zeta_1 - \zeta_2)}{\zeta_1 \zeta_2})$$

ニニゴE\_{su}、n\_{su}はそれぞれ減衰係数および固有角周波数で、ニニゴは自由振動実験より求めた値2E\_{su}=0.395(sec<sup>-2</sup>)、

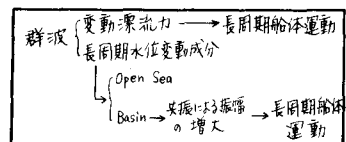


表-1 群波による係留船の長周期船体運動

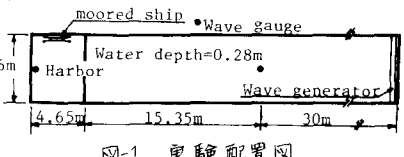


図-1 実験配置図

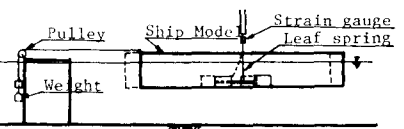


図-2 板バネによる漂流力の測定装置の構成

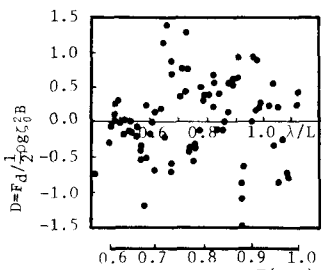


図-3 漂流力係数Dの測定結果

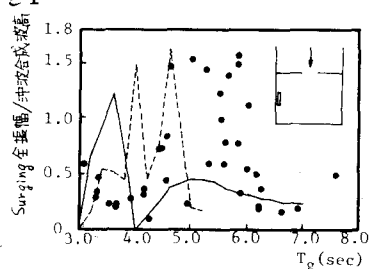


図-4 群波が港内に侵入した時の港内

(1) 係留船の長周期船体運動

$n_{su} = 1.41 \text{ (sec}^{\frac{1}{2}}\text{)}$  を用ひてよい。 $\delta$  は成分波の振幅で、 $T_1, T_2$  は各成分波の周期である。上式より、長周期船体運動の振幅増幅率は次式で与えられる。

$$\frac{\delta}{\delta_0} = \frac{\delta}{\delta_0} \times \frac{g \cdot g \cdot D \cdot T_0 \cdot B}{2M_{su} \sqrt{(n_{su}^2 - \omega^2)^2 + (2\delta_{su} \cdot \omega)^2}} \quad (2)$$

ここに  $\delta$  は長周期船体運動の振幅である。このように漂流力による長周期船体運動の振幅増幅率は群波の周期  $T_g$  だけではなく、 $\delta_0$  も依存することになるので実験においては  $\delta_0$  をほぼ一定にしておくことが望ましい。本実験では  $\delta_0 = 1.5 \text{ cm} \sim 2.0 \text{ cm}$  であったので以下の計算では  $\delta_0 = 0.4 \text{ cm}$  を使用する。実験における群波の周期は 3 秒から 7 秒まで変化させていき、この場合第 1 成分波の周期は 0.75 秒から 0.875 秒まで変化する。群波の場合には  $H_{su}$  の仮定より周期  $T_0 = (T_1 + T_2)/2$  に対応する漂流力を用いてこの時の  $T_0$  は 0.875 秒より 0.938 秒まで変化することになる。先の実験で求めた漂流力係数を二の範囲で表示したもののが図-5 である。図において白丸は第 1 回目の実験値で、黒丸は第 2 回目の実験値を示している。  $T = 0.89$  秒から  $T = 0.92$  秒において双方の実験値はかなり異なっており、この原因は今のところ不明である。双方の漂流力係数を用いて長周期船体運動の振幅増幅率を求めると図-4 の実線および点線となる。実線は図-5 の黒丸に対応する漂流力係数を、点線は白丸に対応する漂流力係数を用いて計算を行ってある。この図より  $T_g = 3.8$  秒および 4.8 秒における peak は多少ずれていてもその漂流水力を考慮した運動方程式によりほぼ説明できるが、 $T_g$  が 5 秒以上における長周期船体運動の振幅増幅率の増大は漂流水力を考慮した運動方程式では説明がつかないことが判る。このような実験と理論における振幅増幅率の差違の原因としては群波が港に侵入した場合に生じる長周期波が考えられる。図-6 は岸壁中央で観測された波形記録を  $0.4 \text{ Hz}$  の Low-pass filter を通して長周期波成分のみを抽出し、その時の長周期波高と冲波合成波高を無次元化したものである。図の横軸は群波の周期  $T_g$  を表している。これより  $T_g = 5.8$  秒付近で長周期波高の振幅増幅率が大きくなっていることが判明する。

この周期は図にも示すように港の奥の岸壁と防波堤を腹とする第 1 モードの共振周期に相当する。そこでこれを更に詳しく調べるために港内に入射する群波の周期を 5 秒に固定しておいて、図-7 のように 3 本の測線に沿って波高計を移動させることにより港内における平面的な波高分布を調べた。図-8 はこの時のそれぞれの波高記録を  $0.4 \text{ Hz}$  の Low-pass filter で長周期成分を抽出し、それを冲波合成波高を無次元化したもので縦軸にとて表示している。この図より測線①と②とは最初予測したとおり、岸壁と防波堤を腹となるような第 1 モードの長周期波が生じていることがうかがえる。測線③とは必ずしも両端で腹にはない、といふことは言えないが、これは港口の影響によるものと考えられる。以上より  $T_g$  が 5 秒以上で長周期船体運動の振幅増幅率が増大するのは、群波のもつ長周期水位変動成分が港内に侵入した時共振して増大し、この増大した長周期波が係留船に作用したためであると考えられる。

結語：従来開水域では波の不規則性のために漂流力が変動し、これにより係留浮体に長周期船体運動が生じると言われているが、以上の結果からすれば、港内係留の場合には変動漂流力以外に波の不規則性のために生じた長周期波による力も新たに考慮しなければならないことになる。最後に本研究に当り深く御理解と御援助を賜った前神戸商船大学今枝裕郎教授に感謝の意を表す次第である。

参考文献：1) 例えれば、Remerly G.T.M. and A.J. Hermans : The slow drift oscillations of a moored object in random seas, Huston, 1971 2) Hsu F.A and K.A : Analysis of peak mooring forces in random seas, Huston, 1970

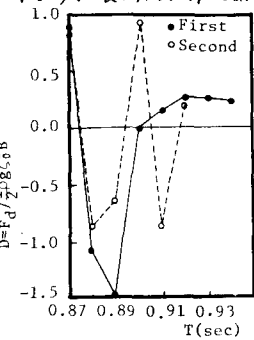


図-5 計算に使用した漂流力係数

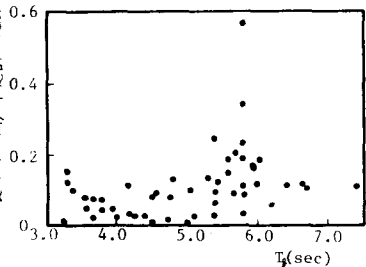


図-6 岸壁中央で観測された長周期波の振幅増幅率

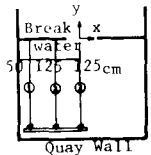


図-7 波高分布の計測場所

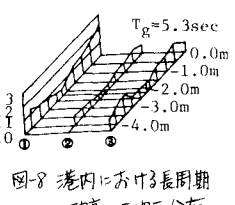


図-8 港内における長周期波高の三次元分布